

東京都立大学 正会員 村田 二郎

フレッシュコンクリートの流動や変形をレオロジー的に考察することは、それらの挙動の実態を解明し、コンクリート施工の合理化に寄与するものと考えられる。

## 1. 自重による変形

型枠内におけるコンクリートの行きかたりや鉄筋の反覆は、自重によるコンクリートの流動に起因し、部材の安全性に重要な要因となる。

スランプ値は、自重による変形量であって、このレオロジー的解析はこの種の問題を取扱う基礎となる。スランプ値は自重によって各水平断面に働く最大せん断応力が変形の進行とともにあって次第に減少し、降伏応力に達した時に静止すると考えて求めることができる。(図1)

$$\text{スランプ値 } S_L = H - (h_0 + h'_1) \quad \dots \dots (1)$$

ここで  $H$ : 変形前のコーンの高さ $h_0$ :  $\zeta \leq \zeta_0$  (降伏応力) で、流動しない区間。式(2)であらわされる。 $h'_1$ :  $\zeta > \zeta_0$  の区間の変形後の高さ。

式(3)であらわされる。

$$\zeta_0 = \frac{\rho f(H+h_0)^3 - H^3}{6(H+h_0)^2} \quad \dots \dots (2)$$

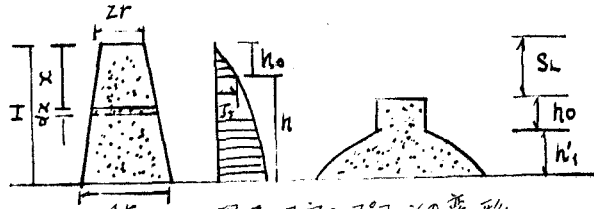


図1 スランプ°コーンの変形

$$h'_1 = 1.5 \int_{h_0}^H \frac{\zeta_0}{\zeta_x} d\zeta = \frac{3\zeta_0}{\rho} \log \frac{3H^2}{(H+h_0)^3 - H^3} \quad \dots \dots (3)$$

$$\text{又、底面の張り径 } R_f \text{ は, } R_f = \sqrt{\frac{2H}{2\zeta_0}} R \quad \dots \dots (4)$$

ここで  $\zeta_0$ : 底面に働く最大せん断応力、  $R$ : 変形前の底面の半径

(土木学会第30回年次学術講演会講演概要集参照)

多数のモルタル、コンクリートについて行なったスランプ試験結果と式(1)および式(4)による計算値を比較すると、15~20cmのスランプのコンクリートの場合は、両者がよく一致するが、それ以下のコンシステンシーのコンクリートの場合には一致しない。(図2、3)この理由は、コンクリートを完全にビンガム流体と仮定したことによるのであって、粉体効果を考慮する必要がある。円板要素の変形を図4の様に考え上面の傾斜角を内部摩擦角に等しいと仮定すれば

$$\frac{\tan \phi}{3} r_i^3 + \Delta z' r_i^2 - \left( \frac{\tan \phi}{3} r_i^3 + \right.$$

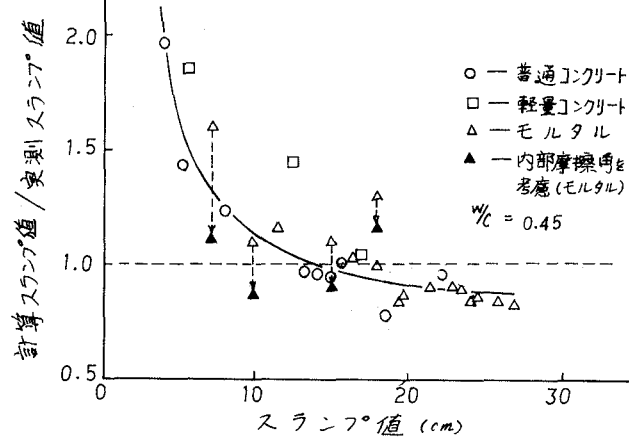


図2 スランプ値の実測値と計算値との関係

$$r^2 \Delta x' = 0 \quad \dots \dots (5)$$

$$\therefore K, r' = \sqrt{\frac{2}{2\zeta_3}} r, \Delta x = \frac{r^2}{r'^2} \Delta x$$

$$r'_i = \sum \Delta x_i = \sum [\Delta x + (r_i - r) \tan \phi] \quad \dots \dots (6)$$

式(6)および式(5)を用いれば、スランプ $15\sim20\text{cm}$ 以下のコンクリートにおいても、計算値と実測値がかなりよく一致し、(図2.3)通常のコンクリステンサーのコンクリートはビンガム流体と粒体の中間の挙動をすることを示している。なお、コンクリートの内部摩擦角は三軸圧縮試験から求めらる。

つきに、スランプコーンを振動台上におき、振動を与えるれば、スランプ値は増加し、一定値に收めんとする。(図5)これは振動により、 $\gamma_f$ が次第に減少して定値に收めんあるためと考えられ、最終の $\gamma_f$ ( $\gamma_{f\text{end}}$ )が実験で決まれば、振動時のコンクリートの変形を推定できる。

## 2. 倾斜管内の流れ

コンクリートのポンプ輸送は、駆動力を与えたビンガム体の管内運動と考えられるが、駆動力が相当大きいため、ビンガム流動としての特徴があらわれにくく、そこで傾斜管内のコンクリートの自然流下について検討した。この場合の連続式は、(図6)

$$2\pi r dz \gamma' = \pi r^2 (P_1 - P_2) + mg \sin \alpha \quad \dots \dots (7)$$

この系のレオロジー基礎式

$$\gamma' = \gamma_w \sin \alpha = \gamma_{pl} \dot{\gamma} + \gamma_f \quad \dots \dots (8)$$

$$\text{流速 } V = \frac{1}{2\gamma_{pl} w_{wind}} \left[ \frac{w_{wind}}{2} (R^2 - r^2) - \gamma_f (R - r) \right] \quad \dots \dots (9)$$

栓底部の流速 $V_{max}$ は、式(9)( $r = R = \gamma_f / w_{wind}$  を代入して求められる。

$$V_{max} = \frac{1}{2\gamma_{pl} w_{wind}} (R w_{wind} - \gamma_f)^2 \quad \dots \dots (10)$$

以上の様にフレッシュコンクリートの最終変形は降伏応力と、内部摩擦角に関係し、速度的・状況における流速や流量は、塑性粘度、降伏応力等に関係する。

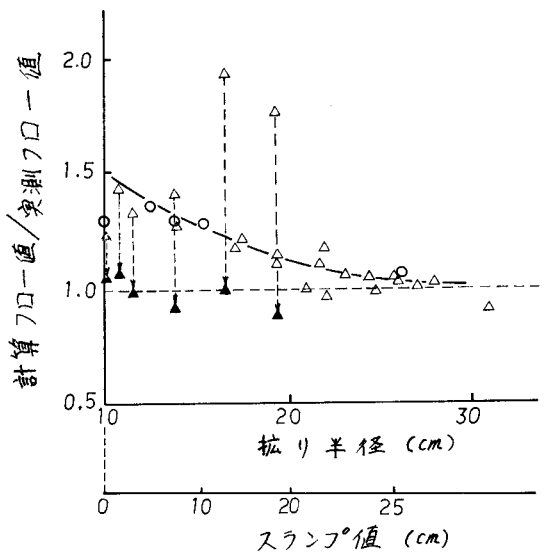


図3 スランプ底面の振り幅の実測値と計算値との関係

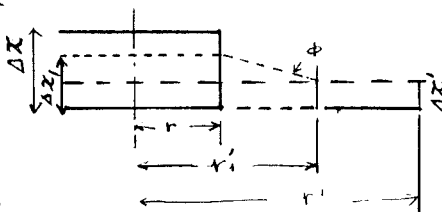


図4 傾斜管要素の変形  $\phi$ : angle of repose

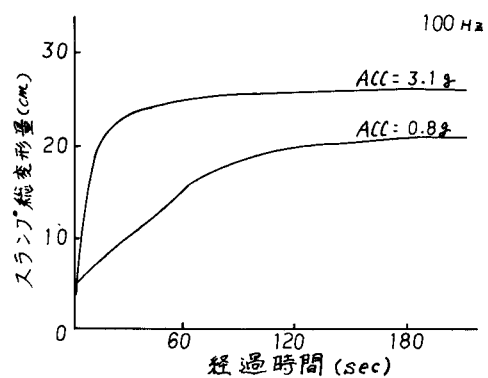


図5 振動の影響

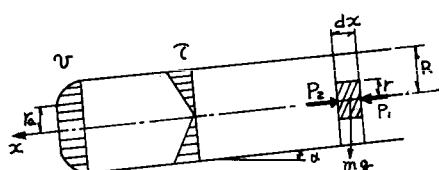


図6 傾斜管内の流れ